

УДК 519.95

## ТОЧНОСТЬ ОЦЕНКИ И НЕПРОТИВОРЕЧИВОСТЬ МОДЕЛИ ПРИ МИНИМАКСНОМ ОЦЕНИВАНИИ ПАРАМЕТРОВ ФОРМЫ СИГНАЛА

А. А. Захарченко, А. И. Чуличков

(кафедра компьютерных методов физики)

E-mail: alexey\_zakharchenko@srisa.ru; ach@cmp.phys.msu.ru

**Предложен метод минимаксного оценивания параметров объекта по форме сигналов, полученных от объекта в условиях существенной неопределенности. Метод позволяет контролировать адекватность используемой математической модели. Эффективность метода иллюстрируется решением задачи минимаксного оценивания профиля поверхности микрообъектов по набору их изображений, полученных оптическим микроскопом с различным положением фокуса.**

### Введение

Морфологический подход к анализу сигналов был предложен Ю.П. Пытьевым более тридцати лет назад. Под морфологическим анализом понимаются методы решения задач узнавания, классификации объектов, выделения отличий в сценах по их изображениям, оценивания параметров объекта по его изображению и другие, основанные на понятии формы изображения. Зрительный анализатор человека решает эти задачи вне зависимости от условий формирования изображения, следовательно, указанные задачи можно решать с помощью инвариантов, сохраняющихся при изменении этих условий. В ряде случаев можно указать множество изображений, порожденное данной сценой при всех возможных значениях условий формирования изображений. Это множество изображений называется его формой. Если это множество выпукло и замкнуто в пространстве всех изображений, то с формой изображения сцены можно однозначно связать проектор на это множество. В терминах этих проекторов конструктивно решаются названные выше задачи анализа изображений [1–3].

В настоящей работе морфологический подход используется для анализа параметров сигналов произвольной природы. Под сигналом будем понимать вектор евклидова пространства  $R_n$ ; в частности, если  $f \in R_n$  — изображение некоторой сцены, координата  $f_i$  вектора  $f \in R_n$  является яркостью  $i$ -го узла сетки поля зрения  $X$ .

### Понятие формы сигнала

Будем считать, что вектор  $f \in R_n$  задан своими координатами в некотором ортонормированном базисе, и для любой числовой функции  $F(\cdot): R_1 \rightarrow R_1$ , заданной и принимающей значения на числовой прямой  $R_1$ , обозначим  $F^*f \in R_n$  вектор, координаты  $(F^*f)_i$  которого в заданном базисе равны

$(F^*f)_i = F(f_i)$ ,  $i = 1, \dots, n$ . Введем понятие формы сигнала как множества сигналов, полученных при всевозможных условиях регистрации.

**Определение.** Пусть  $\mathbf{F}$  — класс функций, определенных и принимающих значения на действительной прямой. Формой изображения  $f \in R_n$  назовем множество  $\tilde{V}_f = \{F^*f, F(\cdot) \in \mathbf{F}\}$ .

Понятие формы сигнала полезно, например, в следующих ситуациях. Пусть  $f \in R_n$  — изображение некоторой сцены на поле зрения  $X = \{x_1, \dots, x_n\}$ , полученное при неконтролируемых условиях, однако таких, что области с одинаковыми оптическими свойствами сцены отображаются в точки поля зрения с равной яркостью. Тогда множество всех изображений является множеством кусочно-постоянных изображений вида  $f = \sum_{j=1}^m c_j \chi_j \in R_n$ , где  $c_j \in (-\infty, \infty)$ ,

а  $\chi_j(x) = \begin{cases} 1, & x \in A_j, \\ 0, & x \notin A_j, \end{cases}$  — индикаторы подмножеств

поля зрения  $X$  равной яркости  $c_j$ ,  $j = 1, \dots, m < n$ . Множество всех изображений данной сцены можно записать в виде  $\tilde{V}_f = \{F^*f, F(\cdot) \in \mathbf{F}\}$ , где  $\mathbf{F}$  — класс всех числовых функций. Инвариантом преобразования яркости изображения в данном случае является набор индикаторных функций, задающий разбиение поля зрения на множества равной яркости, — это разбиение передает особенности сцены, присутствующие в любом ее изображении.

В другом примере форма сигнала определяется положением его максимума. Пусть для координат  $f_i$  сигнала  $f \in R_n$  выполнены неравенства:  $f_{i-1} < f_i$  для  $i = 2, \dots, m$  и  $f_i > f_{i+1}$  для  $i = i, \dots, n - 1$ . Значение индекса  $m$ , разделяющего указанные множества индексов (т.е. положение «максимума» координат вектора  $f$ ), является параметром формы. Изменение условий наблюдения сигнала не изменяет заданной упорядоченности координат сигнала, в крайнем случае неравенство может превратиться в равенство.

Как и в предыдущем примере, зададим форму сигнала в виде множества  $\tilde{V}_f = \{F^*f, F(\cdot) \in \mathbf{F}\}$ , однако теперь в качестве  $\mathbf{F}$  выберем класс монотонно неубывающих функций, в результате для координат сигнала  $F^*f$  выполняются неравенства:  $(F^*f)_{i-1} \leq (F^*f)_i$  для  $i = 2, \dots, m$  и  $(F^*f)_i > (F^*f)_{i+1}$  для  $i = i, \dots, n-1$ . Форма в этом случае является множеством сигналов, первые  $m$  координат которых не убывают, а последующие  $(n-m)$  не возрастают. Такие сигналы будем называть унимодальными.

Далее класс  $\mathbf{F}$  выбирается так, чтобы  $\tilde{V}_f$  было выпукло и замкнуто в  $R_n$ . Тогда эквивалентным является определение формы изображения как проектора  $P_f$  в  $R_n$  на  $\tilde{V}_f$ , т.е. решение задачи наилучшего в  $R_n$  приближения элемента  $g \in R_n$  элементами формы  $\tilde{V}_f$ :

$$\|P_f g - g\|^2 = \inf\{\|g - q\|^2 \mid q \in \tilde{V}_f\}. \quad (1)$$

В первом примере таким проектором является линейный оператор  $P_f g = \sum_{j=1}^m \frac{(g, \chi_j)}{\|\chi_j\|^2} \chi_j$  [1-3]. Во втором рассмотренном примере проектор нелинеен, для его вычисления следует решить задачу выпуклого программирования [4].

### Оценка параметра формы сигнала

Пусть форма изображения объекта задана с точностью до некоторого параметра  $\lambda \in \Lambda$  ( $\Lambda \subset R_m$  — множество допустимых значений параметра). Для каждого значения параметра  $\lambda$  определим форму его изображения в виде множества  $V_\lambda \subset R_n$  его возможных изображений и проектор на это множество  $P_\lambda$ ,  $\lambda \in \Lambda$ . По предъявленному сигналу  $g \in R_n$  требуется оценить его параметр  $\lambda \in \Lambda$ .

Выберем оценку  $\tilde{\lambda}$  параметра  $\lambda$  из условия минимума погрешности оценки. Уточним модель формирования предъявляемого сигнала, считая, что наблюдение сигнала  $f \in V_\lambda$  производится по схеме

$$\xi = f + \nu, \quad (2)$$

в которой погрешность  $\nu \in N$ , где  $N \subset R_n$  — заданное множество. Задачу оценивания параметра  $\lambda$  поставим как задачу на минимакс:

$$\|\lambda - \tilde{\lambda}\| = \inf_{\lambda' \in \Lambda} \sup\{\|\lambda - \lambda'\| \mid \lambda': \xi = f + \nu, f \in V_{\lambda'}, \nu \in N\}. \quad (3)$$

Оценка  $\tilde{\lambda}$  минимизирует максимально возможную погрешность оценивания параметров. Для решения задачи (3) построим множество  $\Lambda_\xi \subset \Lambda$  значений параметра  $\lambda$ , при которых равенство (2) возможно при некоторых  $\nu \in N$  и  $f \in V_\lambda$ . Это множество содержит те и только те значения параметра  $\lambda$ , для которых отличие результата измерения  $\xi$  от множества  $V_\lambda$  может быть объяснено погрешностью  $\nu \in N$ . Решением задачи (3) в этом случае является центр шара минимального радиуса, содержащий множество  $\Lambda_\xi$ , а радиус этого шара является погрешностью оценки  $\tilde{\lambda}$  [5].

Заметим, что в случае, когда  $\lambda$  — числовой параметр, его минимаксной оценкой по наблюдению  $\xi$  будет середина отрезка минимальной длины, содержащего множество  $\Lambda_\xi$ , а оценкой погрешности — половина длины этого отрезка.

### Оценка адекватности модели

Если множество  $\Lambda_\xi$  не пусто, то, очевидно, нет причин отвергать используемую математическую модель измерения (2). Если же  $\Lambda_\xi$  не содержит ни одного элемента, то модель противоречива и должна быть отвергнута. Формально можно ввести числовую характеристику адекватности модели:

$$\alpha(\xi) = \begin{cases} 1, & \Lambda_\xi \neq \emptyset, \\ 0, & \Lambda_\xi = \emptyset. \end{cases} \quad \text{Функцию } \alpha(\cdot), \text{ следуя теории}$$

измерительно-вычислительных систем, назовем надежностью модели.

### Оценка профиля поверхности объекта по набору его изображений с различным положением фокуса

Рассмотрим подробнее ситуацию, когда форма сигнала представляет собой множество

$$V_\lambda = \{f \in R_n: f_1 \leq f_2 \leq \dots \leq f_\lambda \geq f_{\lambda+1} \geq \dots \geq f_n\}, \quad (4)$$

где  $\lambda$  — параметр формы,  $\lambda \in \Lambda_n = \{1, \dots, n\}$ . Задача оценки параметра  $\lambda \in \Lambda_n$  формы (4) возникает при оценке профиля поверхности трехмерного объекта по набору его изображений, полученных оптическим микроскопом с различным положением фокуса [6]. Как показано в [6], для достаточно широкого класса поверхностей дисперсия яркости изображения в окрестности точки  $x$  поля зрения тем больше, чем ближе поверхность объекта в окрестности точки  $x$  к положению фокуса. Изменяя дисперсию  $\xi_i$  яркости окрестности точки  $x$  на изображениях с различным положением фокуса  $z_i$ ,  $i = 1, \dots, n$ , получим случайный вектор  $\xi = (\xi_1, \dots, \xi_n)$ , измеренный по схеме  $\xi = f + \nu$ , где  $\nu \in N$  — погрешность измерения, а  $f \in V_\lambda$ . Оценка высоты поверхности объекта может быть получена как оценка параметра  $\lambda$  формы  $V_\lambda$  сигнала  $f \in V_\lambda \subset R_n$ , определенной в (4). Решив задачу оценки параметра  $\lambda$  по данным измерений  $\xi$  в каждой точке поля зрения, можно решить задачу реконструкции трехмерного рельефа поверхности наблюдаемого объекта.

Для оценки параметра  $\lambda$  в заданной точке  $x$  поля зрения построим множество  $\Lambda_\xi$  тех  $\lambda \in \Lambda_n$ , для которых  $\xi - P_{V_\lambda} \xi \in N$ , где  $P_{V_\lambda} \xi$  — проекция  $\xi$  на множество  $V_\lambda$ . Если  $N = \{z \in R_n, \|z\| \leq \delta\}$ , то множество  $\Lambda_\xi$  содержит те и только те значения параметра  $\lambda \in \Lambda_n$ , для которых  $\|\xi - P_{V_\lambda} \xi\| \leq \delta$ .

Если множество  $\Lambda_\xi$  не пусто, то модель адекватна, в противном случае поверхность объекта и (или)

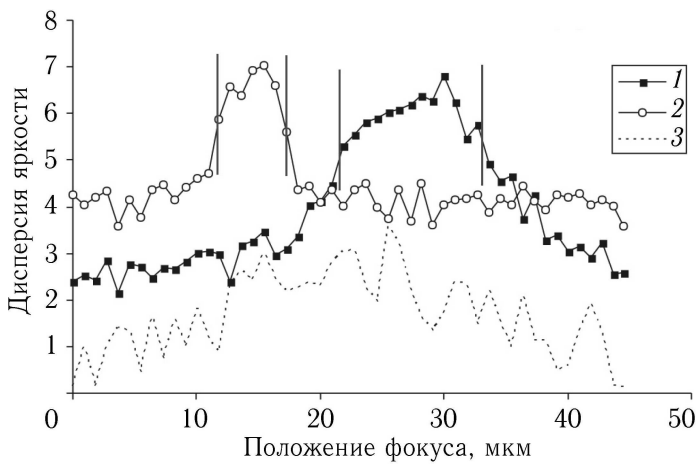


Рис. 1. Зависимость дисперсии яркости в окрестности фиксированной точки поля зрения от положения фокуса. Вертикальными линиями отмечены границы множеств  $\Lambda_\xi$  на каждом сигнале. Шаг положения фокуса 0.9 мкм

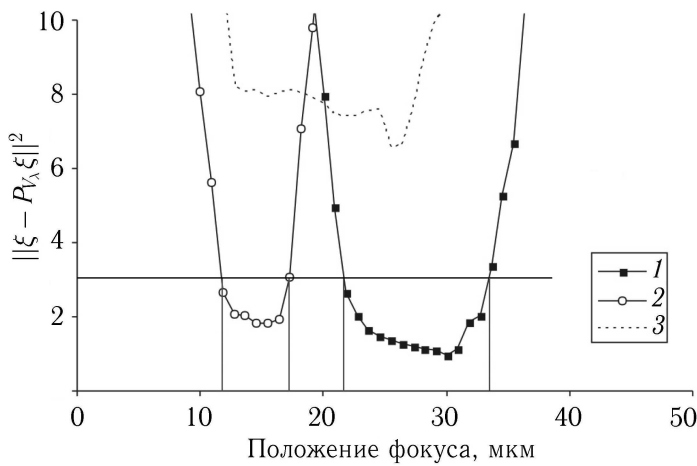


Рис. 2. Зависимость функционала невязки  $\|\xi - P_{V_\lambda} \xi\|^2$  от  $\lambda \in \Lambda_n$  для сигналов 1, 2 и 3, изображенных на рис. 1. Горизонтальной линией отмечен уровень шума  $\delta^2$

система регистрации не удовлетворяют требованиям, сформулированным в [6]. При  $\Lambda_\xi \neq \emptyset$  середина отрезка наименьшей длины, содержащего  $\Lambda_\xi$ , является минимаксной оценкой высоты поверхности объекта в точке  $x$ , а половина его длины — погрешностью измерения.

На рис. 1 приведены примеры сигналов  $\xi$ , представляющих собой различные унимодальные сигналы, искаженные шумом. Вертикальными линиями показаны границы интервала  $\Lambda_\xi$ , в точках которого выполнено неравенство  $\|\xi - P_{V_\lambda} \xi\| \leq \delta$ . На рис. 2 приведено значение функционала  $\|\xi - P_{V_\lambda} \xi\|^2$  в зависимости от  $\lambda \in \Lambda_n$ . Для сигнала 1 минимаксная оценка параметра  $\lambda$  равна  $27.0 \pm 6.0$ ; для сигнала 2 —  $14.6 \pm 2.7$ . Большая погрешность оценки параметра  $\lambda$  по сигналу 1 объясняется попаданием на сильнонаклонную область. Для сигнала 3 модель

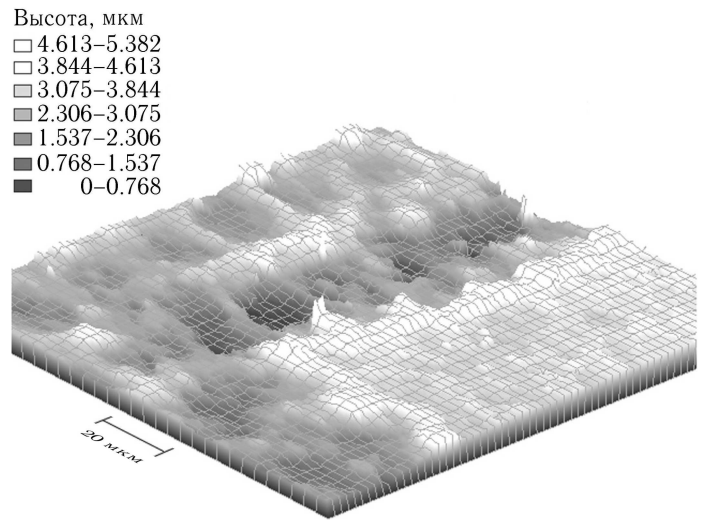


Рис. 3. Результаты оценки профиля поверхности микрообъекта — края выжженной лазером цифры на золотом корпусе микросхемы. Видны впадины, нанесенные лучом лазера на поверхности корпуса. Размеры поля зрения  $\sim 80 \times 80$  мкм

является неадекватной. Это объясняется тем, что область не содержит четкой текстуры и дисперсия не зависит от положения фокуса.

На рис. 3 представлены результаты оценки профиля поверхности микрообъекта в точках прямоугольной сетки на поле зрения  $X$ , полученную описанным выше методом.

### Заключение

На основе подходов, известных как морфологический анализ, получен метод оптимальной оценки параметров формы сигналов, полученных от объекта в условиях существенной неопределенности, минимизирующий максимальную ошибку, а также метод контроля адекватности используемой математической модели.

### Литература

1. Пытьев Ю.П. // ДАН. 1983. **269**, № 5. С. 1061.
2. Pyt'ev Yu.P. // Pattern Recognition and Image Analysis. 1993. **3**, N 1. P. 19.
3. Пытьев Ю.П. Задачи морфологического анализа изображений // Математические методы анализа природных ресурсов Земли из Космоса. М., 1984.
4. Васильев Ф.П. Численные методы решения экстремальных задач. М., 1980.
5. Пытьев Ю.П. Методы математического моделирования измерительно-вычислительных систем. М., 2002.
6. Захарченко А.А. // Сб. докл. 12-й Всеросс. конф. «Математические методы распознавания образов». М., 2005. С. 335.

Поступила в редакцию  
16.12.05